

بررسی هیدرولیکی جریان آب و هوا در مدل آزمایشگاهی مجرای تحت فشار به روش پردازش تصاویر

عبدالرضا کبیری سامانی^{۱*}، سید محمود برقعی^۲، امیر حسین پیرقطاری^۳

۱- استادیار دانشکده مهندسی عمران، دانشگاه صنعتی اصفهان

۲- استاد دانشکده مهندسی عمران، دانشگاه صنعتی شریف

۳- دانش آموخته کارشناسی ارشد سازه های هیدرولیکی، واحد علوم و تحقیقات دانشگاه آزاد

* اصفهان، دانشگاه صنعتی اصفهان

akabiri@ce.iut.ac.ir

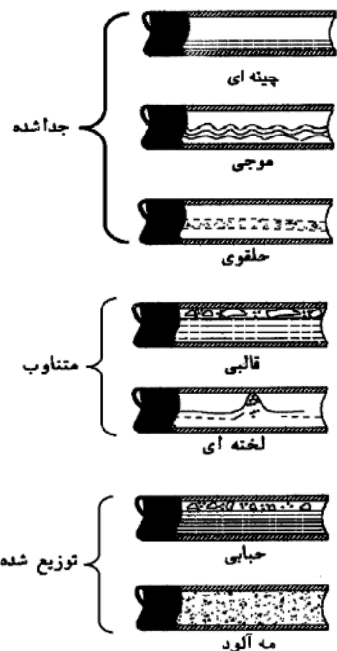
چکیده- جریانهای دو فازی (آب و هوا) در تونل‌ها و مجاری انتقال آب سبب بروز مشکلات سازه‌ای و هیدرولیکی می‌شوند. ایجاد فشارهای اضافه، ترکیدن ناگهانی حبابهای هوا، آزاد شدن انرژی و برخورد با دیواره مجراء، عامل اصلی وارد آمدن خسارت به این سیستمها است. جریانهای دو فازی به دلیل پیچیدگیهای ساختاری و رفتاری به عوامل متعددی وابسته‌اند که یکی از مهمترین آنها کسر فضای خالی است. در این تحقیق با استفاده از اطلاعات آزمایشگاهی و با پردازش تصاویر، کسر فضای خالی و برخی دیگر از پارامترهای تأثیرگذار بر جریان تعیین می‌شود. بدین منظور مشخصات هیدرولیکی جریان دوفازی لخته‌ای رخ داده در مجرای یک مدل آزمایشگاهی از طریق پردازش تصاویر توسط دو نرم افزار Matlab و Photoshop، محاسبه شده است. تصاویر توسط دو دوربین دیجیتال با کیفیت بالا جمع آوری و با ویرایش تصاویر با استفاده از برنامه‌های گرافیکی و محاسباتی، متغیرهای موردنیاز محاسبه شده است. بر اساس نتایج به دست آمده، روش پردازش تصاویر را می‌توان به عنوان ابزاری با دقت بالا و هزینه کم برای پیش‌بینی مشخصات جریان دوفازی به کار برد. نتایج همچنین نشان می‌دهد که مشخصات موج لخته‌ای شامل طول، فرکانس و سرعت موج لخته‌ای تأثیر بسزایی در تغییرات کسر فضای خالی دارند. با افزایش نسبت دبی هوا به آب، فرکانس موج لخته‌ای و عدد فرود دوفازی، کسر فضای خالی به ترتیب افزایش، کاهش و کاهش می‌یابد. همچنین در فرکانس‌های بیشتر از حدود ۱۰ هرتز آهنگ تغییرات کسر فضای خالی کند می‌شود.

کلید واژگان: جریان دو فازی، آب و هوا، پردازش تصاویر، کسر فضای خالی.

است. ورود همزمان آب و هوا به داخل مجراء یا تونل، به بروز مشکلات متعددی مانند ترکیدن حبابهای هوا و تغییرات شدید فشار در تأسیسات هیدرولیکی منجر

یکی از مسائل مهم در طراحی خطوط و تونلهای انتقال آب و قوع جریان دوفازی آب و هوا در شرایط خاص

فیلمبرداری و استفاده از رادیوگرافی با اشعه ایکس است. با تحلیل تصاویر گرفته شده می‌توان نوع جریان و خواص فیزیکی آن را تعیین کرد.



شکل ۱ انواع الگوهای جریان دو فازه در خطوط لوله افقی
(Falvey, 1980)

در سال ۱۹۴۵، Alves جریان افقی هوا- آب و هوا - روغن را در لوله‌ای یک اینچی مطالعه و محدوده کاملی از الگوهای جریان را مشاهده و نقشه‌ای از الگوی جریان را بر مبنای اطلاعات به دست آمده ارائه کرد (Alves, 1954). Lockhart et al. (1949) بر مبنای داده‌های آزمایشگاهی نوعی سیستم گاز- مایع در لوله‌ای به قطر یک اینچ، روشی را برای محاسبه مقدار مایع تجمع یافته در مجارا ارائه کردند. Zuber و Jones در سال ۱۹۷۴ پرتوی اشعه ایکس بسیار قوی را از میان جریان گاز و مایع توسط عبور داده و نتایج را با استفاده از ردیاب تجزیه و تحلیل کردند (Jones et al. 1978). علائم خروجی از دستگاه

می‌شود (کبیری سامانی و همکاران، ۱۳۸۵) و (Kabiri et al., 2007). یکی دیگر از مشکلات ناشی از ورود هوا به درون جریان آب کاهش ظرفیت آبدهی سیستم است. لذا پیش‌بینی ویژگیهای جریانهای دو فازی و سازوکار رفتار دو فاز و اندرکنش آنها با یکدیگر بسیار حائز اهمیت است. مهمترین مشخصه جریانهای دو فازی کسر فضای خالی (نسبت حجم اشغال شده توسط فاز گازی به حجم کل) است. وجود دو سیال با خواص فیزیکی متفاوت، باعث شکل‌گیری تصادفی الگوهای مختلفی از جریان دو فازی می‌شود. الگوی جریان، چگونگی توزیع هر فاز جریان در مجارا در برابر فاز دیگر است. بررسی‌های متعددی در زمینه الگوهای جریان دو فازی درون خطوط لوله‌های افقی صورت گرفته است. به عنوان مهمترین الگوهای جریان دو فازی در مجاري افقی می‌توان به الگوهای جریان حبابی^۱، توپی یا قالبی^۲، چینه‌ای^۳، موجی^۴، لخته‌ای^۵، حلقوی^۶ و مه آلد^۷ اشاره کرد (شکل ۱). هنگامی که دو فاز آب و هوا بوده و در مجرایی بسته جریان یابند، احتمال شکل‌گیری الگوهای جریان لخته‌ای، موجی و لایه‌ای بیشتر است (Falvey, 1980). با توجه به تنوع الگوهای جریان دوفازی و اختلاف در فصل مشترک این الگوها، رفتار هیدرولیکی این الگوها نیز با یکدیگر متفاوت بوده و لذا اولین گام در بررسی هیدرولیک جریانهای دوفازی، تعیین رژیم جریان دو یکی از روش‌های معمول در پیش‌بینی الگوهای جریان دو فازی استفاده از اطلاعات آزمایشگاهی است. یکی از روش‌های مناسب برای شناسایی رژیم جریان دو فازی، عبور جریان از لوله‌ای شفاف و تصویربرداری سریع،

- 1. Bubble Flow
- 2. Plug (piston) Flow
- 3. Stratified Flow
- 4. Wavey Flow
- 5. Slug Flow
- 6. Annular Flow
- 7. Mist Flow

گسیلش پوزیترون^۴ و تشخیص تصویر برداری مافوق صوت گسترش پیدا کرد و در حقیقت استفاده از روش‌های پیچیده و متنوع پردازش تصاویر، تصویربرداری رقومی را ممکن ساخت (مالمیریان، ۱۳۸۰).

امروز با گسترش روزافزون روش‌های مختلف اخذ اطلاعات گستته مانند پویشگرها و دوربین‌های دیجیتال، پردازش تصویر کاربرد فراوانی یافته است. تصاویر حاصل از این اطلاعات، همواره کم و بیش با مقداری نویز همراه بوده و در مواردی نیز مشکل محوش‌گی مرزهای نمونه‌های داخل تصویر را دارد که موجب کاهش وضوح تصویر دریافتی می‌شود.

مجموعه عملیات و روش‌هایی که به منظور کاهش عیوب و افزایش کیفیت ظاهری تصویر به کار می‌رود، پردازش تصویر نامیده می‌شود. اگرچه حوزه‌های کار با تصویر بسیار وسیع است، اما معمولاً محدوده مورد توجه در چهار زمینه بهبود کیفیت ظاهری^۵، بازسازی تصاویر مختلط شده^۶، فشردگی و رمزگذاری تصویر^۷ و درک تصویر توسط ماشین^۸ متمرک است. بهبود تصاویر شامل روش‌هایی مانند استفاده از فیلتر محوکننده و افزایش تضاد برای بهتر کردن کیفیت دیداری تصاویر و اطمینان از نمایش درست آنها در محیط مقصد است. پردازش تصویر از هر دو جنبه نظری و عملی پیشرفت‌های چشمگیری داشته و بسیاری از علوم به آن وابسته‌اند. رد پای پردازش تصویر در بسیاری از علوم و صنایع مشاهده می‌شود و بعضی از این کاربردها آنچنان به پردازش تصویر وابسته است که بدون آن، اساساً قابل تصور نیستند (مالمیریان، ۱۳۸۰؛ Jaw et al., 2000).

4. Positron Emission Tomography (PET)

5. Enhancement

6. Restoration

7. Compression and Coding

8. Understanding

مشخص کننده مقدار گاز تجمع یافته در داخل جریان به صورت تابعی از زمان بود. در سال ۱۹۸۹، Bergles برای شناسایی انواع رژیم‌های جریان از میله رسانا استفاده کرد (وطنی و همکاران، ۱۳۸۰). نوک میله هادی در داخل لوله جریان قرار گرفته و مقدار رسانایی بین نوک میله و دیواره لوله به صورت تابعی از زمان اندازه‌گیری شد. سپس نتایج با استفاده از اسیلوگراف به منظور شناسایی الگوهای Zhang et al. (2003) جریان، مورد استفاده قرار گرفت. این مدل مدلی را برای بررسی پسماند سیال لخته‌ای و انتقال بین جریان لخته‌ای و جریان حبابی پراکنده ارائه کرد. این مدل که در سال ۲۰۰۲ به شکل جدیدی ارائه گردید و با داده‌های تجربی برای جریان لخته‌ای در شیوه‌های مختلف مقایسه شده است.

یکی از روش‌های جدیدی که در سالهای اخیر در زمینه‌های مختلف علوم وارد شده و به وسیله آن می‌توان نتایج بسیار خوبی را از آزمایش‌های پر هزینه با دقت بالا به دست آورد، استفاده از پردازش تصاویر است. در این روش با تصویربرداری از نمونه یا پدیده مورد نظر و تحلیل تصاویر، با حداقل هزینه می‌توان به نتایج بسیار مفیدی دست یافت. سابقه پردازش تصاویر به اوایل دهه ۱۹۶۰ میلادی باز می‌گردد.

در آن زمان سازمان هوا و فضای امریکا^۹ برنامه علوم قمری را در دستور کار داشت. در اواخر دهه ۱۹۶۰ میلادی کاربرد پردازش تصاویر برای تصاویر اشعه X به منظور تشخیص پزشکی آغاز شد و دامنه کاربرد این فناوری در فاصله سالهای ۱۹۸۰ و ۱۹۹۰ به پرتونگاری رایانه‌ای^{۱۰}، تصویر برداری مغناطیسی رزنانس^{۱۱}، پرتونگاری

1. NASA

2. Computer Tomography

3. Magnetic Resonance Imagery (MRI)

تحلیل نتایج از نرم افزارهای Matlab و Photoshop استفاده شده است. پس از تهیه تصاویر از جریان لخته‌ای توسط دو دوربین دیجیتال با دقیق‌ترین محدوده تصویر و جداسازی یک موج کامل از تصویر، حجم فازهای مختلف توسط نرم افزار محاسبه شده و از آنجا متغیر کسر فضای خالی^۱ - که نقش تعیین کننده‌ای در طراحی خطوط انتقال آب دارد - تعیین می‌شود. با تحلیل نتایج حاصل از این بررسی می‌توان متغیرهای دیگری مانند سرعت، طول و فرکانس موج را تعیین کرد. در این بررسی به مقایسه دو نرم افزار و قابلیتهای آنها و همچنین کارایی روش پردازش تصاویر در تحلیل مسائل پیچیده مربوط به جریان‌های دوفازی به خصوص جریان لخته‌ای پرداخته شده است.

۲- وسائل آزمایشگاهی و روش کار

همانطور که اشاره شد، در ارتباط با موضوع جریان دو فازی آب و هوا در سازه‌های هیدرولیکی نظری تونل‌های تحت‌فشار، خطوط انتقال آب، آبگیرهای تحتانی، کالورت‌ها و فاصلابروها مطالعات اندکی انجام شده و لذا طراحان ترجیح می‌دهند، شرایط را به نحوی اعمال کنند که سیستم هیچگاه در آستانه تشکیل جریان دو فازی قرار نگیرد. لذا عموماً سیستم به نحوی طراحی می‌شود که با ضریب اطمینان بالا، همیشه یا به صورت آزاد یا به صورت تحت‌فشار عمل کند. به همین دلیل بررسی این موضوع، مگر در موارد خاص، کمتر مورد توجه قرار گرفته است. در این تحقیق به بررسی آزمایشگاهی جریان دو فازی آب و هوا در نوعی مجرای بسته تحت فشار با استفاده از روش پردازش تصاویر به عنوان ابزاری برای تعیین مشخصات جریان پرداخته شده است. مدل آزمایشگاهی مورد استفاده در این تحقیق مطابق شکل ۲

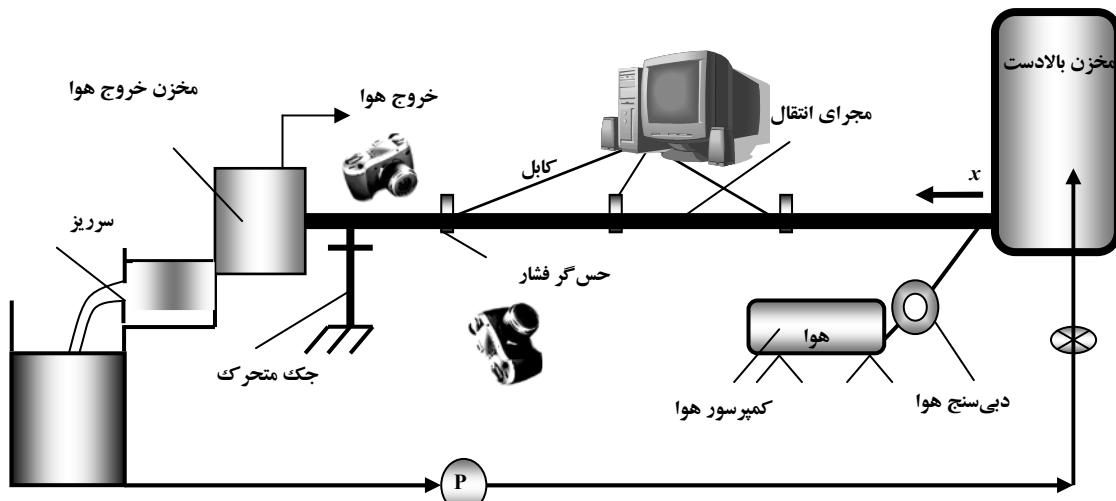
در مکانیک سیالات و هیدرولیک نیز از پردازش تصاویر برای تعیین متغیرهای مختلف استفاده شده است. تعیین پارامترهایی که اندازه‌گیری آنها بسیار سخت و پر هزینه است، محققان را به استفاده از این روش ترغیب کرده است (Grant, 1999; Dalziel, 1993-2001) (Wu et al., 1991). در ارتباط با میدان سرعت جریان دو بعدی، Nastase et al. (2008) در زمینه مشخصات هیدرولیکی جریان جت، Mazumder et al. (2008) در ارتباط با He et al. (2009) فرسایش بستر بر اثر آشفتگی جریان و در زمینه مشخصات جریان‌های سطحی در مخازن موج اشاره کرد. اگرچه پردازش تصاویر در زمینه‌های مختلف کاربرد داشته، اما در زمینه جریان‌های دو فازی آب و هوا بسیار محدود از آن استفاده شده است. بیشتر مطالعات موجود در زمینه مجاری با ابعاد کوچک، میکروکانال‌ها و مجاری انتقال نفت و گاز و محصولات پتروشیمی بوده است (Waelchli et al., 2005; Hemrle et al., 2007) (Dong et al., 2001) تحقیقاتی را درباره پردازش تصاویر در جریان‌های دوفازی افقی ارائه کردند. یکی از روش‌های کاربردی برای تشخیص رژیم‌های جریان دو فازی بر پرتونگاری مقطعی متکی است. در این روش با استفاده از سنسورهای حساس متصل به مجرأ و انتقال اطلاعات به رایانه، تصویری فرضی از مقطع جریان ترسیم می‌شود. با استفاده از تصاویر تشکیل شده در زمانهای مختلف (با فاصله زمانی کم) می‌توان پخش فازهای مختلف در جریان‌های دو فازی را به دقت بررسی کرد (Dong et al., 2001).

در این تحقیق با تحلیل تصاویر اخذ شده از مدل آزمایشگاهی، برخی از متغیرهای هیدرولیکی مهم جریان دوفازی آب و هوا از نوع لخته‌ای بررسی می‌شود. برای

1. Void Fraction

توسط روتامتر به جریان آب در مجرای وارد می‌شد. هواخی خروجی مجرای پس از ورود به این مخزن در محفظه‌ای که در بالای مخزن نصب شده ذخیره و از مخزن خارج می‌شد. سایر اجزای مدل شامل مخزن ذخیره برای تأمین آب مورد نیاز، سرریز و مخزن سرریز برای اندازه‌گیری دبی آب، پمپ آب و کمپرسور هوا می‌شود. متغیرهای آزمایش مربوط به این تحقیق شامل؛ دبی هوا، دبی آب و طول موج، پریود موج و سطح مقطع آب و هوا می‌شود. برای برداشت اطلاعات مربوط به مشخصات موج لخته‌ای نظیر پریود و تعداد در واحد زمان از زمان‌سنج با دقت یک صدم ثانیه استفاده شد. برای برداشت اطلاعات مربوط به ارتفاع لخته و عمق آب در داخل مجرای و طول موج لخته‌ای با نصب خطکش و اشل بر روی لوله از عکسهاست تهیه شده در جریان فیلمبرداری و عکسبرداری استفاده شده است. لازم است ذکر شود که یک طول موج لخته‌ای کامل، فاصله طولی بین پیشانی موج لخته‌ای تا پیشانی موج لخته‌ای بعدی است.

شامل مجرای اصلی انتقال آب با قطر داخلی ۹ سانتی‌متر و طول ۱۰ متر با جداره شفاف است. مدل مزبور در آزمایشگاه هیدرولیک دانشکده عمران دانشگاه صنعتی شریف ساخته شده و ضمن انجام آزمایش‌های خاصی در ارتباط با مشخصات هیدرولیکی جریان دو فازی آب و هوا، عکسها و فیلمهای متعددی از پدیده‌های رخ داده تهیه شده که مبنای مطالعه حاضر بوده است. مخزن بالادست به شکل مکعب مستطیلی بوده و در وسط یکی از دیوارهای آن در ارتفاع ۵ سانتی‌متری از کف سوراخی به قطر ۱۰ سانتی‌متر برای اتصال مجرای مخزن تعییه شده است. آب ورودی توسط سه سری صفحه مشبک آرام‌کننده کاملاً آرام شده و سپس به مجرای وارد می‌شود. مخزن پایین دست از جنس پلکسی‌گلاس شفاف بوده و در دیوار انتهایی آن دو شیر خروجی با قابلیت کنترل سطح آب قرار دارد. برای ایجاد امکان تشخیص دو فاز در روش پردازش تصاویر از پرمنگنات پتانسیم برای رنگین کردن آب استفاده شد. جریان هوا از طریق کمپرسور قابل تنظیم به روتامتر وارد شده و پس از تعیین دبی هوا ورودی



شکل ۲ طرحواره مدل آزمایشگاهی و تجهیزات اندازه‌گیری (Kabiri-Samani et al., 2007)

دوربین دیجیتال Sony DSC-P72؛ با حافظه ۱۶ مگابایت و قدرت نمایش ۳/۲ مگا پیکسل که در هنگام ضبط فیلم می‌تواند حداکثر ۳/۱ مگاپیکسل را ذخیره کند. قدرت بزرگنمایی لنز دوربین برابر ۳، ویژگی تصویر دوربین ۶/۶۷ میلی‌متر و کانون آن ۶ تا ۱۸ میلی‌متر است. این دوربین (۵۶۰×۲۲۰) نقطه (dot) و ۳۳۴۰۰۰ پیکسل داشته و تعداد پیکسل‌های مؤثر آن تقریباً برابر ۳۲۱۰۰۰ است.

دوربین دیجیتال Panasonic DMC-FZ2؛ با سرعت شاتر ۰/۵ تا ۸ ثانیه و لنز لیکا^۱، که قدرت وضوح بالاتری در نمایش و ضبط تصاویر نسبت به دوربین قبل دارد. لنز این دوربین از نسل دوم لنزهای DC VARIO-ELMARIT و دارای کیفیت بسیار بالای تصویر بوده و توانایی ۱۲ برابر ۷۶۰۰۰ پیکسل بر اینچ می‌باشد.

۳- روش پردازش تصویر با نرم افزار Photoshop

با ذخیره‌سازی تصاویر و راهاندازی نرم افزار کار شروع می‌شود. در صورت نیاز با استفاده از گزینه "Crop tool" طرفین تصویر بریده و به اندازه دلخواه درآورده می‌شود. اگر قطع تصویر مورد تأیید بود، گزینه Crop را انتخاب کرده و در غیر اینصورت با انتخاب گزینه Cancel این کار تکرار می‌شود.

برای تعیین مقدار دبی هوا از روتامتر با حداقل و حداکثر دبی قابل اندازه‌گیری ۴۰ و ۴۰۰ لیتر در دقیقه و دقت ۱ لیتر در دقیقه استفاده شده است. برای تعیین دبی آب از سرریز لبه‌تیز مثلثی با زاویه رأس ۹۰ درجه و مانومتر با دقت ۱/۰ میلی‌متر استفاده شد. تراز آب در مخازن بالادست و پایین دست با استفاده از خطکش و اشل با دقت ۱ میلی‌متر تعیین شد. طول لخته با نصب خطکش و اشل بر روی لوله و فیلمبرداری تعیین شد.

تمامی تصاویر مورد استفاده با استفاده از کلیپ‌های تهیه شده که حداقل مدت زمان آنها ۵ دقیقه بوده تهیه شد. دوربین‌ها در راستای افقی نسبت به محور لوله استقرار یافته و فاصله‌ی افقی آنها از راستای مجراء، با سعی و خطا در هر مرحله از آزمایشها به منظور پوشش دادن حداقل یک طول موج کامل- انتخاب شد. دوربین‌ها در حالت فیلمبرداری قابلیت برداشت ۳۵ فریم در هر ثانیه را داشتند. تصاویر مورد استفاده از تجزیه فیلمهای حاصل و XingMPEG Player تولید عکس توسط نرم‌افزار استخراج شده است. جدول ۱ محدوده تغییرات پارامترهای مختلف هیدرولیکی و هندسی مؤثر بر نتایج این تحقیق را نشان می‌دهد. در این جدول اعداد فرود و (Kabiri-Samani et al., 2007)

برای فیلمبرداری از جریان عبوری از دو دوربین دیجیتال با مختصاتی به شرح زیر استفاده شده است:

جدول ۱ محدوده تغییرات پارامترهای مؤثر

تعداد آزمایشها	نسبت دبی هوا به دبی آب	عدد رینولدز دوفازی (Re)	عدد فرود دو فازی (Fr)
۲۲۵	۰/۰۴-۰/۴۵	۲۰۰۰۰-۱۰۰۰۰	۰/۱-۱

می شود. مثلاً برای قطعه دوم، زاویه سطح آب برابر $80/2^{\circ}$ و لذا مساحت فضای خالی برابر $24/95$ سانتی‌مترمربع است. با بررسی مساحت فضای خالی در هر قطعه با توجه به زاویه دیده شده، جدول ۲ به دست می‌آید. بر اساس اعداد به دست آمده در این جدول برای تصاویر مختلف، به راحتی می‌توان با قطعه‌بندی تصاویر، مساحت فضاهای خالی موجود در هر قطعه و سپس کسر فضای خالی را به دست آورد.

۴- پردازش تصاویر با نرم‌افزار Matlab

یکی از کاربردهای پردازش تصاویر تعیین کسر فضای خالی در مجرای انتقال آب با استفاده از نرم‌افزار Matlab است. ابتدا هر تصویر توسط تحلیل‌گرهای نرم‌افزاری، work شناسایی شده و به صورت یک ماتریس در فایل `RGB` ذخیره می‌شود. بدین صورت که اگر تصویر ابعادی برابر 200×200 پیکسل داشته باشد، نرم‌افزار آن را به یک ماتریس 1000×1000 تبدیل کرده و بر روی هر یک از درایه‌های این ماتریس تغییرات خواسته شده را انجام می‌دهد. به علت محدودیت‌های تصویربرداری، در تصاویر برداشت شده اشکالاتی نظیر ناتراز بودن و همچنین وجود دستکها و کلاهک‌هایی که برای کنترل و نگهداری لوله از آنها استفاده شده، خطاهایی را ایجاد می‌کند، وجود باندهایی که برای تعیین و خواندن زاویه آب از آنها استفاده شده و انکاس فلاش دوربین بر روی لوله در تمامی تصاویر که منجر به غیرقابل استفاده شدن برخی تصاویر می‌شود، وجود دارد.

برای مقایسه تصویر با ابعاد واقعی می‌توان به ترتیب زیر عمل کرد: در صفحه اصلی نرم‌افزار با انتخاب منوی `Image size` و گزینه `Image` پنجره‌ای باز می‌شود که در آن اطلاعات گوناگونی مانند اندازه تصویر، پهنا و ارتفاع آن به واحدهای گوناگون نمایش داده شده است. با استفاده از شاخصهای طولی که بر روی تصویر مورد نظر (مدل) نصب شده می‌توان ابعاد واقعی را با ابعاد تصویر مقایسه نمود. برای انتخاب بخشی از تصویر می‌توان از هر یک از ابزارهای انتخاب^۱ استفاده کرد. چون در بیشتر تصاویر تشابه زیادی بین نواحی مختلف وجود دارد، با انتخاب اولیه‌ای که برنامه از گزینه `Tolerance` (۹۰) در نظر می‌گیرد، فضای دلخواه انتخاب نمی‌شود. برای حل این مشکل باید `Tolerance` را بین اعداد 45 تا 25 انتخاب کرد تا فضای دلخواه انتخاب شود. در مدل `RGB`، که مانیتور از این مدل برای نمایش رنگها استفاده می‌کند، برای هر یک از رنگهای اصلی (قرمز، سبز، آبی) در هر پیکسل یک مقدار عددی از صفر تا 255 اختصاص یافته است.

به عنوان مثال برای تعیین کسر فضای خالی در تصویر `test33` که در آن دبی $Q_a=180$ lit/min و دبی $Q_w=483.8$ lit/min بوده، تصویر به ۷ قطعه مجزا تقسیم می‌شود که در هر یک از قطعات ارتفاع خاصی از مقطع لوله را آب فرا گرفته و برای محاسبه فضای خالی در هر یک از قطعات به روش زیر عمل می‌شود. در مقاطع مختلف از راست به چپ، با توجه به شاخص‌های زاویه‌ای که بر روی لوله شفاف نصب شده، عمق آب با توجه به شاخص زاویه‌ای نصب شده روی لوله تعیین

جدول ۲ مساحت فضای خالی بر حسب زاویه رویت شده از شاخص

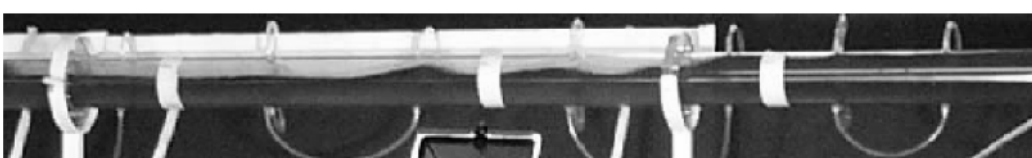
زاویه رویت شده از شاخص (درجه)	$22/9$	$34/3$	$45/8$	$57/3$	$68/7$	$80/2$	$91/6$
مساحت فضای خالی (cm^2)	$0/80$	$2/68$	$6/04$	$11/0$	$17/46$	$24/95$	$32/10$

طول تصویر از چپ به راست وجود دارد. در مرحله بعدی با تقسیم طول کل لوله (نرم افزار طول لوله را برابر ۱۰۵۹ تعیین کرده) بر ۲۴، تعداد ۲۴ ماتریس جدید ساخته شده که هر یک از آنها معرف شماره تصویر تکه شده از تصویر کل است (مثلاً ۸۰، تکه هشتم از تصویر کلی است). برای عمودی کردن کل تصویر در هر یک از ماتریسها با یک سطر بالا کشیدن سطراها (از ماتریس دوم باید این کار انجام شود) با تشکیل یک ماتریس جدید از بههم پیوستن ۲۴ ماتریس ویرایش شده، شکل تراز شده به دست می‌آید (شکل ج-۳). عملیات بعدی در تحلیل تصویر از بین بردن فلاش‌ها و نوارهای گوناگونی است که به منظورهای مختلف بر روی لوله نصب شده و در تصویر دیده می‌شوند (شکل د-۳).

برای تحلیل تصاویر ابتدا باید m-file جدیدی تشکیل شود تا بتوان از طریق آن، اعمال لازم را برای تعیین کسر فضای خالی (α) در هر تصویر انجام داد. در این مرحله ابتدا با معرفی تصویر توسط دستور `imread`، ماتریس تشکیل دهنده تصویر به وجود آمده (شکل ۳) و چون تحلیل فقط از طریق سیستم `grayscale` ممکن است، تصویر توسط دستور `rgb2gray` به حالت سیاه و سفید تبدیل می‌شود (شکل ب-۳). عملیات بعدی تعیین قطر لوله و افت یا خیز لوله در تصویر است (بررسی تراز بودن تصویر). برای این کار با سعی و خطأ، محل دقیق لوله و ابعاد آن در ماتریس مشخص می‌شود. مثلاً در تصویر آزمایش ۱۹ (شکل ۳) با سعی و خطأ مشخص شد که لوله قطری برابر ۷۷ سطر (پیکسل) داشته و ۲۴ سطر در



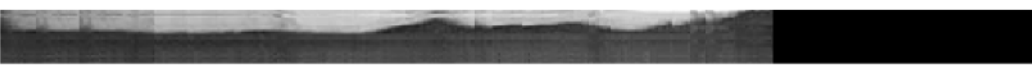
الف- تصویر اصلی



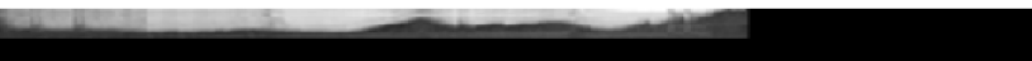
ب- تصویر Grayscale



ج- تصویر تراز شده



د- حذف فلاش و نوار از تصویر



-بهبوددهی تصویر ۵

شکل ۳ تصاویر آزمایش ۱۹

می شود. برای این کار ابتدا ماتریس C به صورت کمیت double درآمده و با تعریف $\text{temp1} \leftarrow \max(C)$ درصد آب تعیین می شود. سپس با تعریف x به عنوان نمایشگر طول لوله در تصویر، منحنی مربوط به میزان آب موجود در لوله ترسیم می شود.

سپس برای تعیین α در شکل با معرفی ماتریس P به عنوان size و تعیین " $M \times \text{تعداد ستون} \times \text{تعداد سطر}$ " میزان کل هوای موجود در تصویر map شده تعیین و میزان کل هوای موجود در لوله یا همان V_a/V_t تعیین می شود. این α برای مقطع مستطیلی حاصل می شود و باید با روابط هندسی به مقطع دایره ای تبدیل شود.

۵- تحلیل نتایج

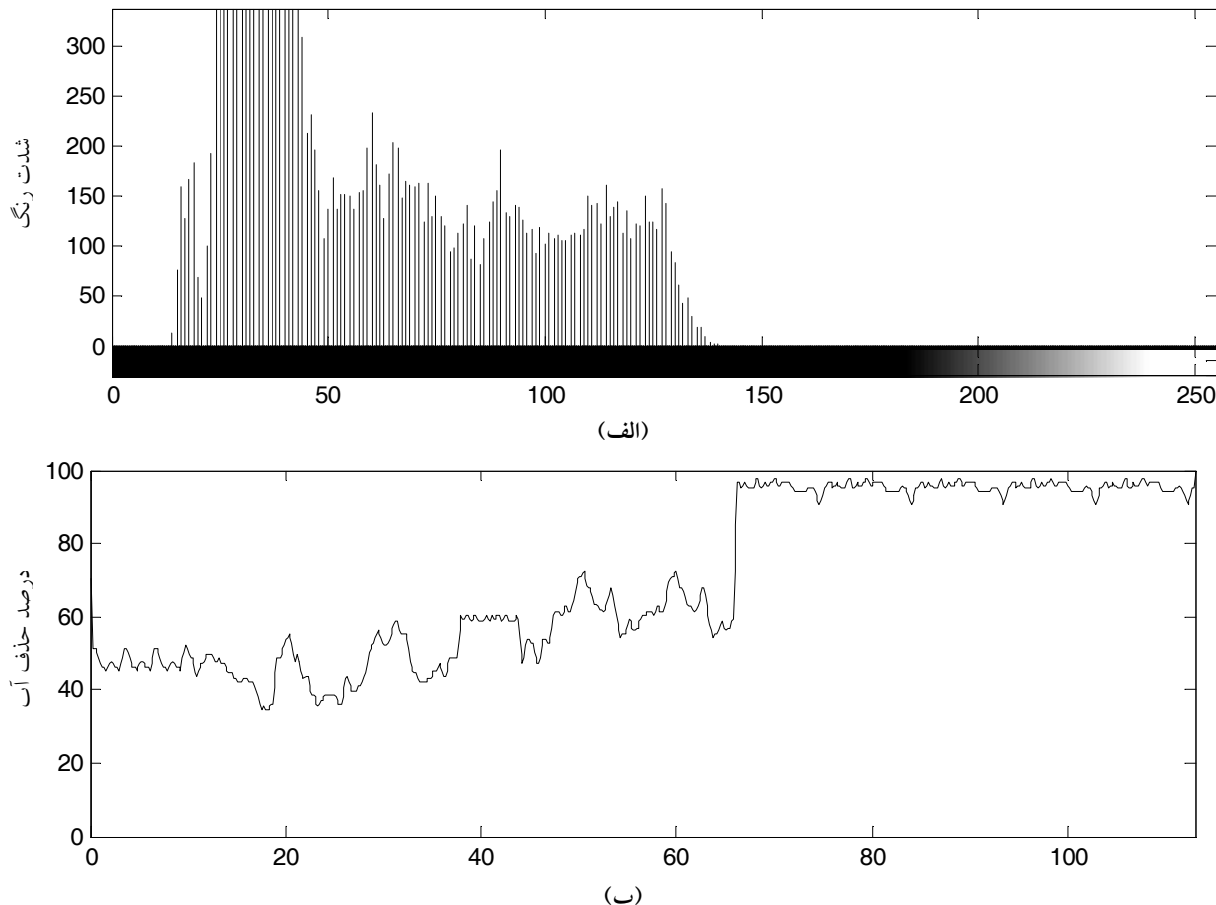
در این قسمت نتایج به دست آمده از تحلیل تصاویر مربوط به آزمایش‌های انجام شده روی مدل آزمایشگاهی بررسی می شود. لازم است ذکر شود که در جداول ها و شکلهای ارائه شده، فرکانس موج به هرتز، T پریود موج بر حسب ثانیه، L طول موج بر حسب متر و $\alpha = V_a/V_t$ کسر فضای خالی موجود در هر موج کامل است. با بازبینی فیلم‌های تهیه شده در آزمایش‌های گوناگون تعداد موج عبوری در هر ثانیه (f) و پریود یک موج کامل (T) قابل محاسبه است. استفاده از متغیرهای Q_a/Q_w و L/D برای بی بعدسازی پارامترها بوده است. عدد فرود موج (Fr) از رابطه $Fr = C/(Lg)^{0.5}$ به دست آمده که در آن C سرعت موج ($C = L/T$) به متر بر ثانیه است. در ادامه نتایج نمونه‌ای از این بررسیها ارائه می شود (جدول ۳). در این حالت کسر فضای خالی برابر $24/0$ بوده است.

برای این کار با تشکیل ماتریسهای مشابه و جایگزین در حالتی که مشابه وضعیت جریان در محدود مورد نظر باشد و قرار دادن ماتریسهای حاصل در نقاط مورد نظر، شکل مطلوب حاصل می شود. در مرحله بعدی برای تعیین دقیق و مشخص نقاط با خواص مختلف از دستور Imadjust ، شکل بهبود داده می شود (شکل ۳). در این حالت با تقویت شدت رنگ max و min موجود در درایه‌های ماتریس کل، وضعیت میزان آب و هوای موجود برای کل تصویر تعریف می شود. سپس با استفاده از دستورات موجود در نرم افزار و دستورهایی که در منوی Image processing وجود دارد، شکل فیلتر می شود (شکل ۴).

دلیل فیلتر کردن آن است که پس از جایگزینی ماتریسهای هدف بر روی ماتریسهایی که در آن اثر نوار یا فلاش موجود است، شکل از حالت طبیعی خارج شده و مرزهای آن نواحی شکسته پیدا می کنند. با این دستور که imfilter نام دارد، ماتریس تهیه شده جدید فیلتر شده و پخش رنگ در شکل یکنواخت و در مرحله بعدی کسر فضای خالی تعیین می شود. در نمودارهای شکل ۵ پراکندگی شدت رنگ در طول لوله و درصد حضور آب grayscale در لوله ارائه شده است. اگر تصویر به شکل 255×255 و نقاط سیاه مطلق (فقط هوا) را با صفر منتظر می کند. به عنوان مثال برای تصویر آزمایش ۱۹ مجموع درایه ها در حالت پر از هوا برابر $444 \times 1059 \times 255$ خواهد بود. برای تعیین α ابتدا max عددی (کمی) درایه ها (M) را تعیین کرده، سپس با تعریف ماتریسی به نام C برای یک سطر از تصویر، وضعیت وجود آب و هوا تعیین



شکل ۴ نحوه فیلتر نمودن تصویر



شکل ۵ الف- هیستوگرام شدت رنگ در طول موج، ب- درصد حضور آب در لوله

جدول ۳ نتایج تجزیه و تحلیل نمونه با استفاده از Photoshop

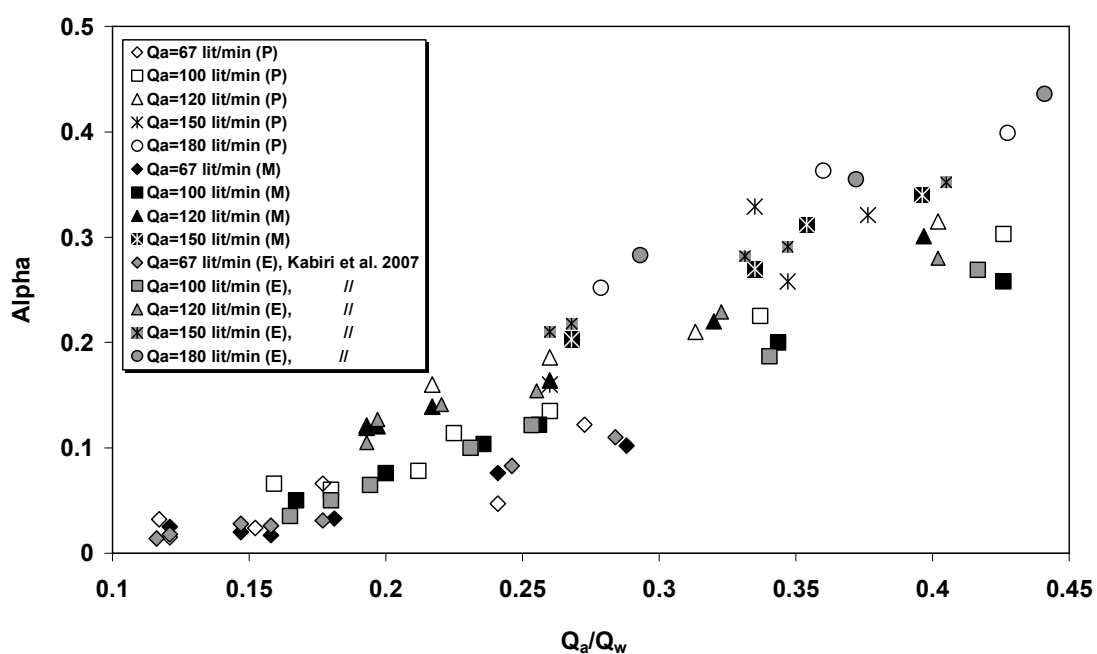
Q_a (lit/sec)	Q_w (lit/sec)	Q_a/Q_w	T (s)	f (s ⁻¹)	L (m)	L/D	C=L/T (m/s)	Fr
۱/۱۲	۲/۹۳	۰/۲۸۴	۲	۰/۵	۱/۱۲	۱۲/۴۴	۰/۵۶	۰/۱۷

حسگرها حاصل شده است (Kabiri-Samani et al., 2007). ملاحظه می شود که با افزایش دبی آب کسر فضای خالی به طور محسوسی کاهش می یابد. با توجه به نزدیکی نقاط حاصل از پردازش تصاویر با استفاده از نرم افزار Matlab با نتایج حاصل از مدل آزمایشگاهی، صحت پردازش و تحلیل تصاویر با این روش بیشتر مورد

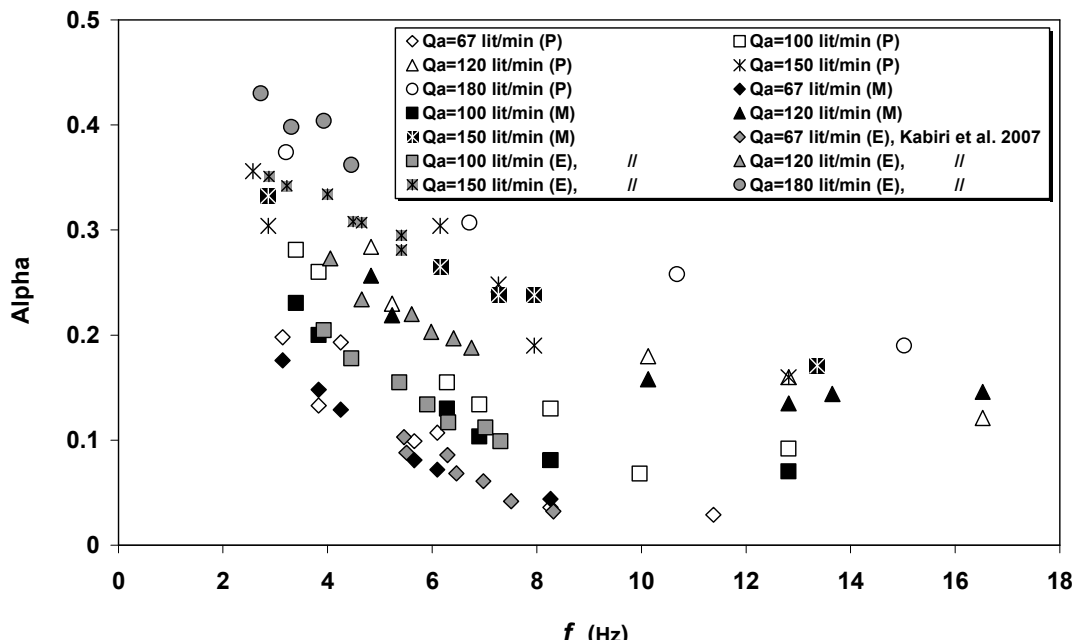
در نمودارهای بعدی P نتایج حاصل از پردازش تصاویر با استفاده از نرم افزار Photoshop، M نتایج حاصل از Matlab و E نتایج آزمایشگاهی را نشان می دهد. شایسته است گفته شود که نتایج مدل آزمایشگاهی با استفاده از طیفهای موج حاصل از حسگرهای فشارسنجی بر اساس تحلیل طیف و با واسنجی این

کاهش کسر فضای خالی می‌شوند. همچنین بررسی نتایج برای دبی‌های هوای مختلف نشان می‌دهد که کسر فضای خالی با افزایش فرکانس موج لخته‌ای از یک حد معین به بعد تقریباً ثابت باقی می‌ماند. مقایسه نتایج حاصل از دو نرم‌افزار در مقابل مقادیر آزمایشگاهی حاصل در دو شکل فوق، مؤید این است که خروجی‌های نرم‌افزار Matlab به مراتب از دقت بالاتری برخوردارند. این نتیجه در شکل دیگری با استفاده از شکل ۸ نیز قابل استنتاج است. شکل ۸ نتایج محاسبات کسر فضای خالی را با استفاده از دو نرم‌افزار Photoshop و Matlab در مقابل نتایج در شکل ملاحظه آزمایشگاهی مقایسه کرده است. در این شکل ملاحظه می‌شود که پراکندگی نتایج با استفاده از Photoshop در حدود ۲۰ درصد است، در حالی که نتایج نرم‌افزار Matlab به‌ویژه در مقادیر بالای کسر فضای خالی در محدوده $\pm 10\%$ و کمتر جای گرفته است.

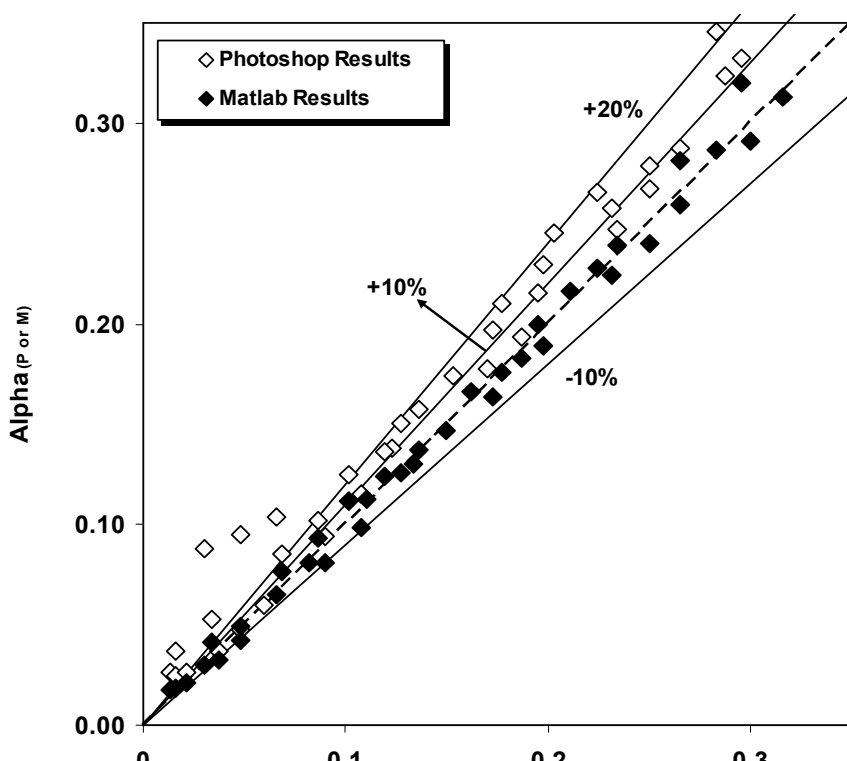
تأثیر قرار می‌گیرد. در شکل ۶ تغییرات کسر فضای خالی در مقابل نسبت دبی هوا به دبی آب نشان داده شده است. بررسی این تغییرات نشان می‌دهد که به‌طور کلی با افزایش Q_a/Q_w ، α افزایش می‌یابد. این روند در نتایج حاصل از هر سه روش به روشنی قابل مشاهده است. همچنین با افزایش دبی هوا در دبی آب ثابت، کسر فضای خالی افزایش می‌یابد. بررسی نتایج همچنین نشان می‌دهد که در دبی‌های زیاد آب برای نسبت دبی هوا به آب کمتر $0.4/2$ آهنگ تغییرات کسر فضای خالی با تغییر دبی هوا بسیار ملایم است. در شکل ۷ نمودار تغییرات کسر فضای خالی با فرکانس موج لخته‌ای نشان داده شده است. از نتایج ارائه شده در این شکل می‌توان دریافت که با افزایش فرکانس موج لخته‌ای، کسر فضای خالی کاهش می‌یابد. به بیان دیگر در این حالت امواج لخته‌ای با طول موج کوچکتر و زمان تناوب کمتری شکل گرفته و سبب



شکل ۶ تغییرات کسر فضای خالی در مقابل نسبت دبی هوا به دبی آب



شکل ۷ تغییرات کسر فضای خالی نسبت به فرکانس موج لخته‌ای



شکل ۸ مقایسه پراکندگی نتایج با استفاده از دو نرمافزار Photoshop و Matlab در مقابل نتایج آزمایشگاهی

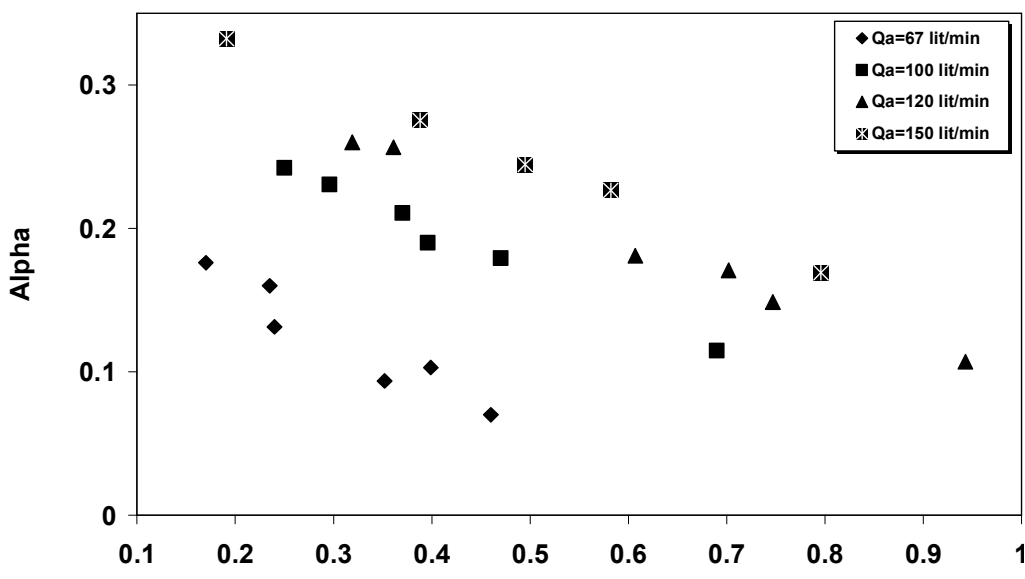
بر اساس اطلاعات مربوط به سرعت موج (C) و طول موج (L) محاسبه شده است. مشاهده می‌شود که با افزایش عدد فرود موج، کسر فضای خالی کاهش می‌یابد. ضمناً در عدد فرود ثابت، با افزایش دبی هوا، کسر فضای خالی افزایش یافته است. بررسی تغییرات کسر فضای خالی در مقابل پارامترهای هیدرولیکی معرف عدد فرود یعنی سرعت و طول موج نشان می‌دهد که با افزایش طول موج لخته‌ای، کسر فضای خالی افزایش یافته و با افزایش سرعت موج لخته‌ای در دبی هوا ثابت، کسر فضای خالی کاهش می‌یابد. بنابراین با تعریف ارائه شده برای عدد فرود کاهش کسر فضای خالی در مقابل عدد فرود منطقی به نظر می‌رسد.

علت اصلی بیشتر بودن خطای نرم‌افزار Photoshop را می‌توان در محدودیت انتخاب قطعه دانست. زیرا در کل طول مدل تعداد محدودی شاخص زاویه‌ای نصب شده و لذا نمی‌توان زاویه آب را در قطعات کوچکی از موج تعیین کرد، لذا حجم آب و هوای موجود در موج با خطای تعیین می‌شود. محاسبات تابع خطای (NRMSE) و ضریب همبستگی (R^2) نیز نشان می‌دهد که نتایج حاصل از نرم‌افزار Matlab دقیق‌تری دارند (جدول ۴). از این رو در شکلهای بعدی برای ایجاد امکان مقایسه بهتر، فقط نتایج حاصل از نرم‌افزار Matlab ارائه شده است.

شکل ۹ تغییرات کسر فضای خالی را در مقابل عدد فرود موج نشان می‌دهد. همانطور که گفته شد، عدد فرود موج

جدول ۴ مقادیر تابع خطای (NRMSE) و ضریب همبستگی (R^2) برای نتایج حاصل از دو نرم‌افزار

با استفاده از نرم‌افزار Photoshop	با استفاده از نرم‌افزار Matlab	روش محاسبه	تابع خطای
			R^2
۰/۹۷۹	۰/۹۹۰		
۰/۳۰۸	۰/۱۰۶	NRMSE	

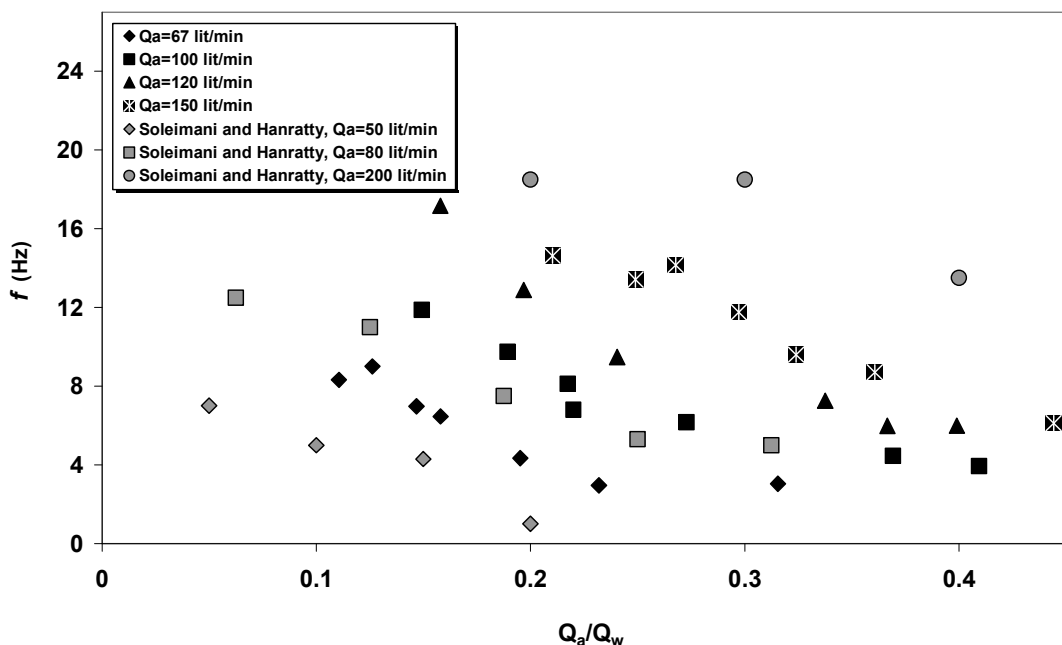


شکل ۹ تغییرات کسر فضای خالی در مقابل عدد فرود

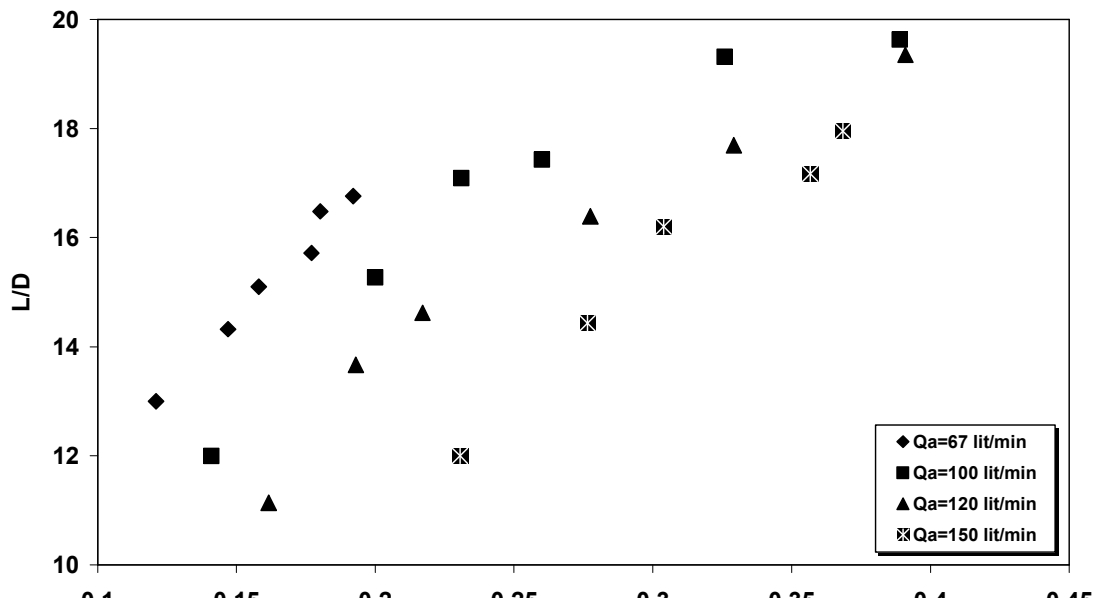
۶- نتیجه‌گیری

در این تحقیق به بررسی و تحلیل نتایج حاصل از پردازش تصاویر برداشت شده از مدل آزمایشگاهی شبیه‌سازی جریان دو فازی آب و هوا پرداخته شد. همانطور که گفته شد یکی از کاربردی‌ترین پارامترها در شناسایی الگوهای مختلف جریان، کسر فضای خالی یا کسر مایع تجمع یافته در مجا ر است. از این رو در این تحقیق میزان کارایی استفاده از پردازش تصاویر در پیش‌بینی مشخصات جریان دو فازی مطالعه شد. بررسیها نشان داد که نتایج حاصل از پردازش تصاویر با استفاده از نرم‌افزار Matlab نسبت به نتایج مشابه با استفاده از نرم‌افزار Photoshop دقیق بالاتری دارند. ضمناً بررسی آزمایشها و نتایج پردازش تصاویر نشان داد که با افزایش دبی آب در دبی هوا ثابت کسر فضای خالی به‌طور محسوسی کاهش می‌یابد.

در شکل ۱۰ نمودار تغییرات فرکانس امواج لخته‌ای به وجود آمده در آزمایشها با نسبت دبی هوا به دبی آب ارائه شده است. ملاحظه می‌شود که با افزایش نسبت دبی هوا به دبی آب، فرکانس موج لخته‌ای کاهش می‌یابد. ضمناً مشاهده می‌شود که در Q_a/Q_w ثابت با افزایش دبی هوا و در نتیجه افزایش دبی آب، فرکانس موج لخته‌ای افزایش می‌یابد. بررسی این شکل همچنین نشان‌دهنده این است که فرکانس موج لخته‌ای تا حد معینی از نسبت دبی، روند نزولی داشته، اما پس از مقدار حدی، با افزایش این نسبت تقریباً ثابت باقی می‌ماند. تغییرات نسبت طول موج به قطر لوله در مقابل نسبت دبی هوا به دبی آب در شکل ۱۱ نشان داده شده است. ملاحظه می‌شود که با افزایش L/D , Q_a/Q_w افزایش می‌یابد. ضمناً با افزایش دبی هوا در نسبت Q_a/Q_w ثابت، طول موج کاهش یافته است.



شکل ۱۰ تغییرات فرکانس موج لخته‌ای در مقابل نسبت دبی هوا به دبی آب

شکل ۱۱ نمودار تغییرات L/D بر حسب Q_a/Q_w

L	طول موج
M	نتایج نرم افزار Matlab
NRMSE	تابع خطأ
P	نتایج نرم افزار Photoshop
Q_a	دبی هوا
Q_w	دبی آب
R^2	ضریب همبستگی
Re	عدد رینولدز
T	پریود موج لخته‌ای
V_a	حجم هوا در یک طول موج
V_t	حجم داخلی مجرأ در یک طول موج
x	راستای طولی
- منابع	
کبیری سامانی، ع.، برقعی، س. م. و سعیدی، م. ح.، (۱۳۸۵).	
الگوهای جریان دوفازی آب و هوا در تونلهای آبرافقی و با شبکه کم، مجله علمی- پژوهشی شریف، سال ۲۲، شماره ۳۵، ص. ۲۱-۱۳.	

با افزایش فرکانس موج لخته‌ای، کسر فضای خالی کاهش می‌یابد. با افزایش طول موج لخته‌ای کسر فضای خالی افزایش می‌یابد. در حالی که با افزایش سرعت موج و عدد فروند موج لخته‌ای در دبی هوا ثابت، کسر فضای خالی کاهش می‌یابد. با افزایش نسبت دبی هوا به دبی آب، فرکانس موج لخته‌ای کاهش یافته و طول موج لخته‌ای افزایش می‌یابد.

۷- فهرست علائم

کسر فضای خالی
سرعت موج
قطر مجرأ
نتایج آزمایشگاهی
فرکانس موج
عدد فروند
شتاب جاذبه

- Jones, D. C., and Zuber, N., (1978). "Use of the cylindrical hot-film anemometer for measurement of two-phase void and volume flux profiles in a narrow rectangular channel", A.I.Ch.E. Symposium Series.
- Kabiri-Samani, A. R., Borghei, S. M. and Saidi, M. H., (2007). "Fluctuation of air-water two-phase flow in horizontal and inclined water pipelines", J. of Fluids Eng., ASME, 129(1), pp. 1-14.
- Lockhart, R. W., and Martinelli, R. C., (1949). "Proposed correlation of data for isothermal two-phase two-component flow in pipes", Chem. Eng. Prog., pp. 64, 193.
- Mazumder, B. S., Bhattacharyya, A. and Ojha, S. P., (2008). "Near-bed particle motion due to turbulent flow using image processing technique", J. Flow Visualization and Image Processing, 15(1), pp. 1-15.
- Nastase, I., Meslem, A. and Bouwmans, T., (2008). "Vortical structures analysis in jet flows using a classical 2D-PIV system and time resolved visualization image processing", J. Flow Visualization and Image Processing, 15(4), pp. 275-300.
- Soleimani, A., Hanratty, T. J., (2003). "Critical liquid flows for the transition from the pseudo-slug and stratified patterns to slug flow", Int. J. Multiphase Flow, pp. 29, 51-67.
- Waelchli, S., Rohr, P. R. V. and Stampanoni, M., (2005). "Multiphase flow visualization in microchannels using X-ray tomographic microscopy (XTM)", J. Flow Visualization and Image Processing, 12(1), pp. 1-13.
- Wu, Z., Zhu, J., Chen, S., Yang, L. and Yang, H. X., (1991). "An image processing system for quantitatively analyzing the 2-D fluid velocity-field image", Computers and Fluids, 20(4), pp. 259-371.
- Zhang, H. Q., Wang, Q., Sarica, C., and Brill, P. J., (2003). "A unified mechanistic model for slug liquid holdup and transition between slug and dispersed bubble flows", Int. J. Multiphase Flow, 29, pp. 97-107.
- مالمیریان، ح. (۱۳۸۰). پردازش رقومی تصاویر، انتشارات سازمان جغرافیایی وزارت دفاع و پشتیبانی نیروهای مسلح.
- وطنی، ع. و مخاطب، س. (۱۳۸۰). اصول طراحی هیدرولیکی خطوط لوله انتقال جریانهای دو فازی، انتشارات جهاد دانشگاهی، دانشکده فنی دانشگاه تهران.
- Alves, G. E. (1954). "Co-current liquid-gas flow in a pipeline contactor", Chem. Process. Eng., 50(9), pp. 449-456.
- Dalziel, S., (1993-2001). Image processing for fluid dynamics, Two-dimensional particle tracking, DL Research Partners, <http://www.damtp.cam.ac.uk/lab/digimage/track2d.pdf>.
- Dong, F., Liu, X., Deng, X., Xu, L., and Xu, L. A., (2001). "Identification of two-phase flow regimes in horizontal, inclined and vertical pipes", I.O.P., Meas. Sci. Tech., 12, pp. 1069-1075.
- Falvey, H. T., (1980). "Air-water flow in hydraulic structures", Eng. Monograph, No. 41, US Department of the Interior, Water and Power Resources Service.
- Grant I., (1999). "Image processing problems in fluid mechanics (Keynote Lecture)", Euromech 406, Image Processing Methods in Applied Mechanics, Euromech Society, Warsaw, Poland.
- He, L. and Puleo, J. A., (2009). "PIV measurements of surface flows in laboratory wave basins", J. Flow Visualization and Image Processing, 16(1), pp. 1-18.
- Hemrle, J., Onishi, T., Adina, C., Mochizuki, S. and Murata, A., (2007). "Quantitative description of the inner flow behavior of a two-phase heat transport device using image sequence processing", J. Flow Visualization and Image Processing, 14(4), pp. 417-430.
- Jaw, S. Y., and Wu, J. L., (2000). "Alternating color image anemometry and its application", J. Flow Visualization and Image Processing, 7 (3), pp. 105-122.